

ΣΥΣΤΗΜΑΤΑ ΑΥΤΟΜΑΤΟΥ ΕΛΕΓΧΟΥ II

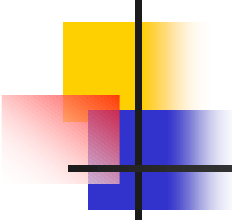
Σωστός σχεδιασμός $C_d(z)$ οδηγεί σε $u_d(t) = u_c(t), \quad t = kT_s, \quad k = 0, 1, \dots$

Για το σχεδιασμό και υλοποίηση της $C_d(z)$ απαιτείται βασικά γνώση του μετασχηματισμού z

Ορισμός μεατασχηματισμού z

$$Z[f(\mathbf{i})] \triangleq F(\mathbf{z}) = \sum_{\mathbf{i}=0}^{\infty} f(\mathbf{i}) \mathbf{z}^{-\mathbf{i}} \quad (\text{για } \mathbf{i} < 0, f_{\mathbf{i}} = 0)$$

$$\text{Π.χ. } f(\mathbf{i}) = \mathbf{a}^{\mathbf{i}} \rightarrow Z[\mathbf{a}^{\mathbf{i}}] = \frac{\mathbf{z}}{\mathbf{z} - \mathbf{a}}$$



ΣΥΣΤΗΜΑΤΑ ΑΥΤΟΜΑΤΟΥ ΕΛΕΓΧΟΥ II

Ιδιότητες μετασχηματισμού \mathbf{z}

$$Z[a f(\mathbf{i}) + \beta g(\mathbf{i})] = \mathbf{a} F(\mathbf{z}) + \beta G(\mathbf{z})$$

$$Z[f(\mathbf{i} + \mathbf{z})] = \mathbf{z}^{-1} F(\mathbf{z}) - \sum_{\mathbf{i}=0}^{\mathbf{-1}} f(\mathbf{i}) \mathbf{z}^{-1}$$

Π.χ. $Z[a^{i+1}] = \mathbf{z} \frac{\mathbf{z}}{\mathbf{z}-\mathbf{a}} - \mathbf{a}^0 = \frac{\mathbf{z}^2}{\mathbf{z}-\mathbf{a}} - 1$

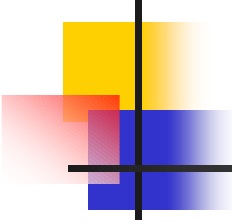
$$f(0) = \lim_{\mathbf{z} \rightarrow \infty} F(\mathbf{z})$$

$$\lim_{\mathbf{z} \rightarrow \infty} f(-h) = \lim_{\mathbf{z} \rightarrow 1} (1 - \mathbf{z}^{-1}) F(\mathbf{z}) \quad \text{εάν } |\rho \zeta \varepsilon \varsigma(F(\mathbf{z})=0)| < 1$$

Αν $F(\mathbf{z}) = \frac{N(\mathbf{z})}{D(\mathbf{z})}$ πρέπει οι ρίζες του $D(\mathbf{z})=0$ να βρίσκονται εντός των μοναδιαίου κύκλου

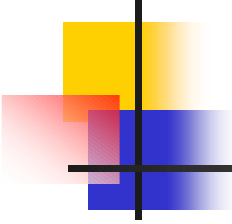
$$Z[f((\mathbf{z} + \mathbf{n})h)] = \mathbf{z}^n [F(\mathbf{z}) - F_1]$$

όπου $F(\mathbf{z}) = Z[f(-h)]$ και $F_1(\mathbf{z}) = \sum_{j=0}^{n-1} f(jh) \mathbf{z}^{n-j}$

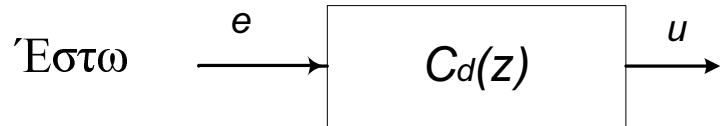


ΣΥΣΤΗΜΑΤΑ ΑΥΤΟΜΑΤΟΥ ΕΛΕΓΧΟΥ II

Είσοδος	Laplace	Z
Βηματική 1(kh)	$\frac{1}{s}$	$\frac{z}{z-1}$
Ράμπα	$\frac{1}{s^2}$	$\frac{hz}{(z-1)^2}$
Εκθετικό $e^{-h/T}$	$\frac{T}{1+sT}$	$\frac{z}{z-e^{-h/T}}$
$\sin(\omega t)$	$\frac{\omega}{s^2 + \omega^2}$	$\frac{z\sin(\omega h)}{z^2 - 2z\cos(\omega h) + 1}$
$\cos(\omega t)$	$\frac{s}{s^2 + \omega^2}$	$\frac{z(z - \cos(\omega h))}{z^2 - 2z\cos(\omega h) + 1}$
$\cosh(\omega t)$	$\frac{1}{s^2 - \omega^2}$	$\frac{z(z - \cosh(\omega h))}{z^2 - 2z\cosh(\omega h) + 1}$



ΣΥΣΤΗΜΑΤΑ ΑΥΤΟΜΑΤΟΥ ΕΛΕΓΧΟΥ II



όπου ο διακριτός ελεγκτής προσδιορίζεται από την εξίσωση διαφορών:

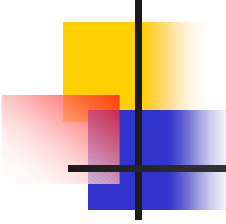
$$\mathbf{a}_0 (\mathbf{i} + \mathbf{n}) + \dots + \mathbf{a}_n (\mathbf{i}) = e(\mathbf{i}) \quad Z[e] = E(\mathbf{z})$$

$$Z[\mathbf{a}_n (\mathbf{i})] = \mathbf{a}_n U(\mathbf{z})$$

$$Z[\mathbf{a}_0 (\mathbf{i} + \mathbf{n})] = \mathbf{a}_0 \mathbf{z}^n U(\mathbf{z}) \quad ((0), (1), \dots, (n-1) = 0)$$

$$(\mathbf{a}_0 \mathbf{z}^n + \mathbf{a}_1 \mathbf{z}^{n-1} + \dots + \mathbf{a}_n) U(\mathbf{z}) = E(\mathbf{z}) \Rightarrow$$

$$U(\mathbf{z}) = \frac{E(\mathbf{z})}{\mathbf{a}_0 \mathbf{z}^n + \mathbf{a}_1 \mathbf{z}^{n-1} + \dots + \mathbf{a}_n} \quad \xrightarrow{\frac{e}{E(z)}} \boxed{\frac{1}{\mathbf{a}_0 \mathbf{z}^n + \mathbf{a}_1 \mathbf{z}^{n-1} + \dots + \mathbf{a}_n}} \xrightarrow{u} U(z)$$



ΣΥΣΤΗΜΑΤΑ ΑΥΤΟΜΑΤΟΥ ΕΛΕΓΧΟΥ II

Ζητείται ο Μετασχηματισμός $(s) \rightarrow (z)$

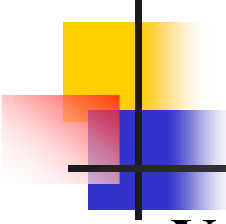
Η γενική μορφή της συνάρτησης μεταφοράς ενός διακριτού ελεγκτή

$$(z) = z^{-} \frac{b_0 + b_1 z^{-1} + \dots + b_m z^{-m}}{a_0 + a_1 z^{-1} + \dots + a_n z^{-n}}, \quad b_0 \neq 0 \quad \geq 0$$

Αλγόριθμος υλοποίησης

$$\text{Av} \quad (z) = \frac{U(z)}{E(z)}$$

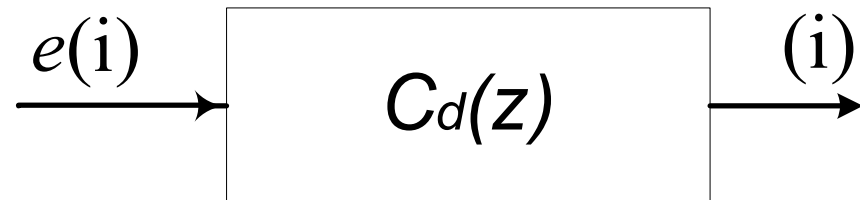
$$E(z)z^{-} \left(b_0 + b_1 z^{-1} + \dots + b_m z^{-m} \right) = U(z) \left(a_0 + a_1 z^{-1} + \dots + a_n z^{-n} \right), \quad (m, n \geq 0)$$



ΣΥΣΤΗΜΑΤΑ ΑΥΤΟΜΑΤΟΥ ΕΛΕΓΧΟΥ II

Υπολογισμός του αντίστροφου μετασχηματισμού z

$$b_0 e(\mathbf{i} - \mathbf{m}) + b_1 e(\mathbf{i} - \mathbf{m} - 1) + \dots + b_m e(\mathbf{i} - \mathbf{m} - \mathbf{m}) = \mathbf{a}_0^-(\mathbf{i}) + \dots + \mathbf{a}_n^-(\mathbf{i} - \mathbf{n})$$



Το μόνο άγνωστο στην παραπάνω σχέση είναι το (\mathbf{i}) (τα υπόλοιπα είναι στοιχεία για στιγμές $\leq \mathbf{i}$ που είναι γνωστά).

$$\Rightarrow (\mathbf{i}) = \frac{1}{\mathbf{a}_0^-} [b_0 e(\mathbf{i} - \mathbf{m}) + \dots + b_m e(\mathbf{i} - \mathbf{m} - \mathbf{m}) - \mathbf{a}_1^-(\mathbf{i} - 1) - \dots - \mathbf{a}_n^-(\mathbf{i} - \mathbf{n})]$$

ΣΥΣΤΗΜΑΤΑ ΑΥΤΟΜΑΤΟΥ ΕΛΕΓΧΟΥ II

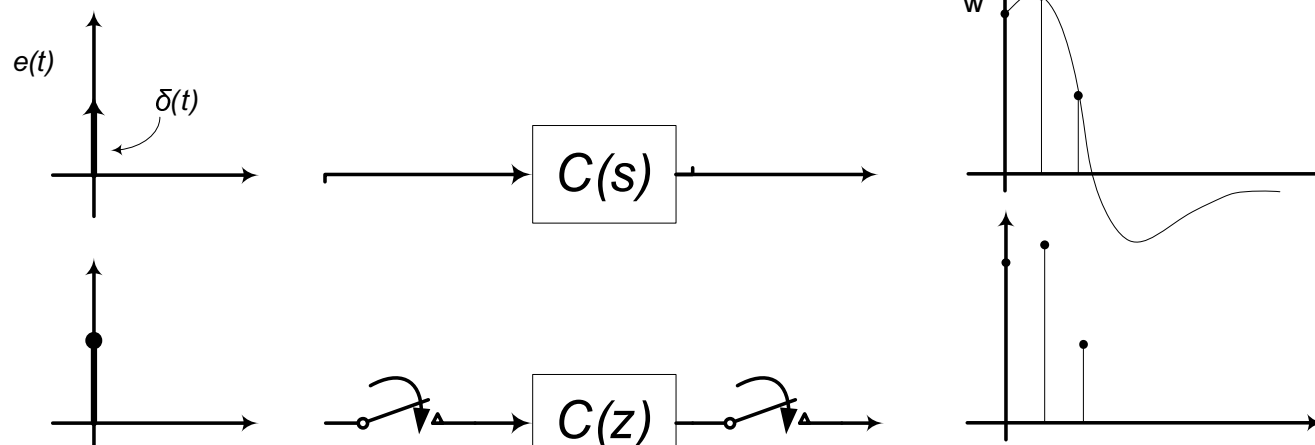
z-Domain: $Z = e^{sT_s}$

s-Domain:

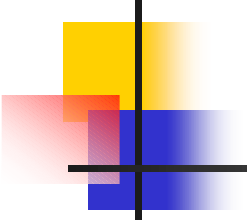
1^η Μέθοδος Διακριτοποίησης

Impulse Invariant Transformation (IIT)

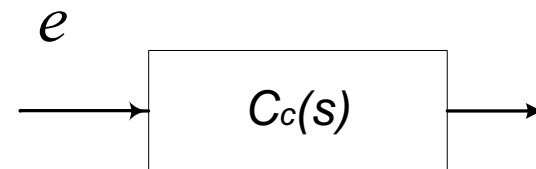
Κρατά αναλλοίωτη την κρουστική απόκριση - $w(t)$



Κρουστική απόκριση $() = \int_0^\infty w(-\tau)e(\tau) \tau$



ΣΥΣΤΗΜΑΤΑ ΑΥΤΟΜΑΤΟΥ ΕΛΕΓΧΟΥ II



$$\Delta \text{ίνεται} \quad \frac{e}{e} = (s) = \frac{A_1}{s + a_1} + \dots + \frac{A_n}{s + a_n}$$

$$L^{-1} \left\{ \frac{A_i}{s + a_i} \right\} = A_i e^{-a_i t}$$

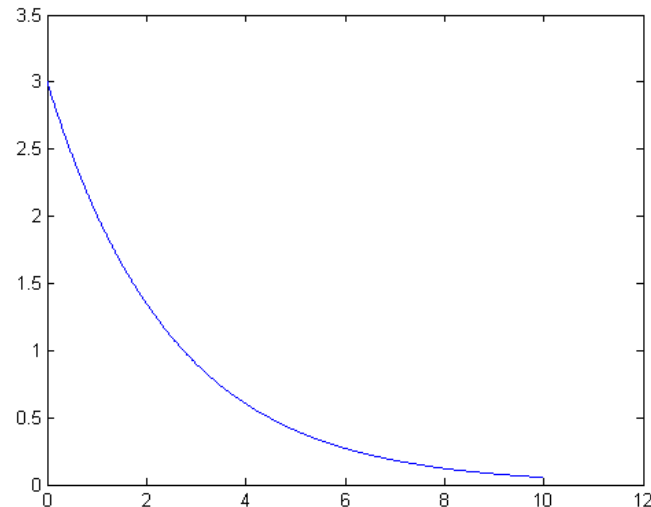
$$\xrightarrow{s = 0 - z} G(z) = \frac{A_1 z}{z - e^{-a_1 T_s}} + \dots + \frac{A_n z}{z - e^{-a_n T_s}}$$

$$\frac{A_i z}{z - e^{-a_i T_s}} \xrightarrow{z^{-1}} A_i e^{-a_i n T_s}, n = 0, 1, \dots$$

ΣΥΣΤΗΜΑΤΑ ΑΥΤΟΜΑΤΟΥ ΕΛΕΓΧΟΥ II

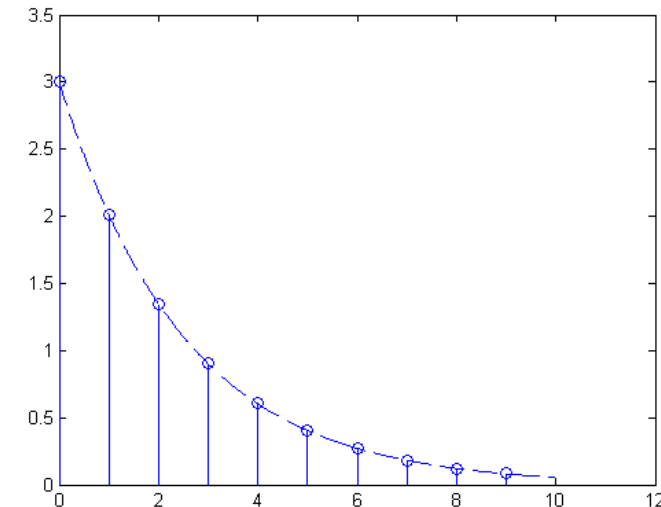
Π.χ. $(s) = \frac{3}{s + 0.4}$,

κρουστική απόκριση $3e^{-0.4}$



$$(z) = \frac{3z}{z - e^{-0.4T_s}}$$

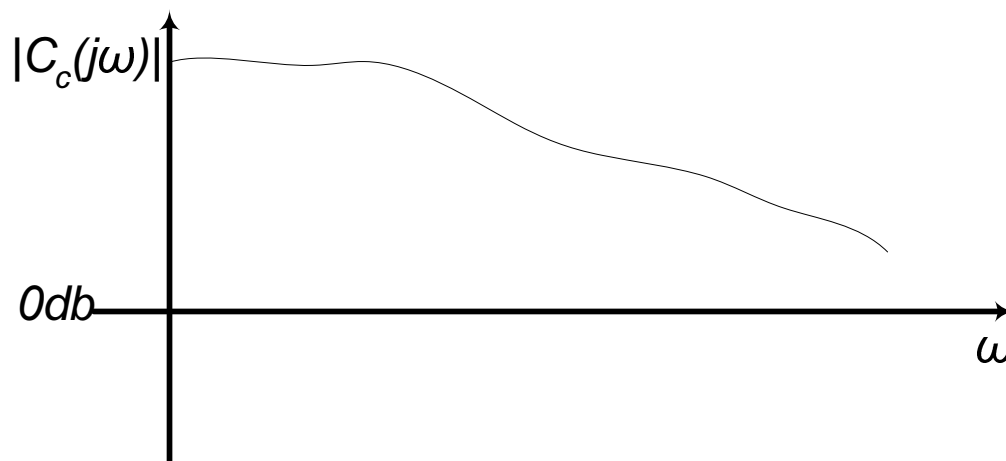
κρουστική απόκριση $3e^{-0.4nT_s}$, $T_s = 1 \text{ sec}$



ΣΥΣΤΗΜΑΤΑ ΑΥΤΟΜΑΤΟΥ ΕΛΕΓΧΟΥ II

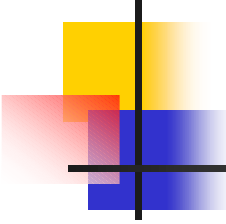
$(\omega)|_{z=e^{j\omega T_s}}$ απόκριση στο πεδίο της συχνότητας

Συσχέτιση (ω) με (ω)



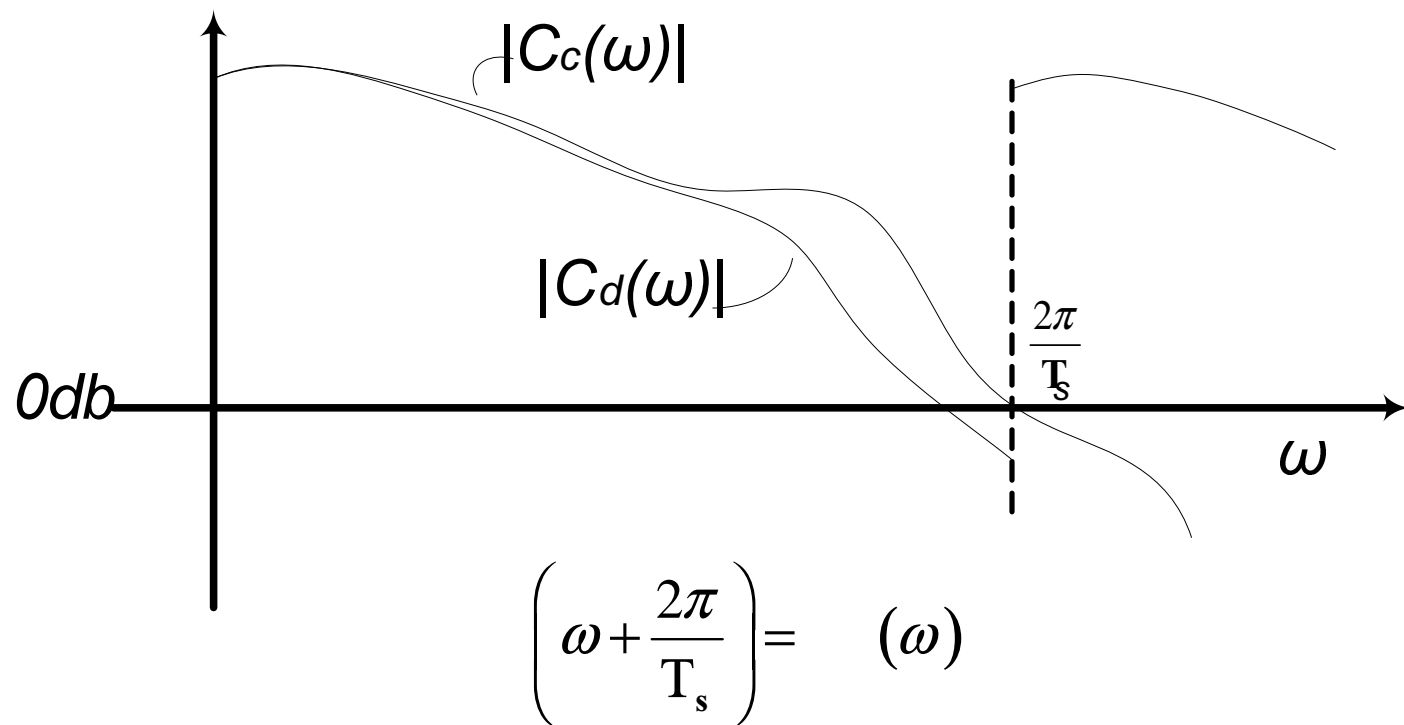
Επιθυμητό $(\omega) = (\omega), \forall \omega$

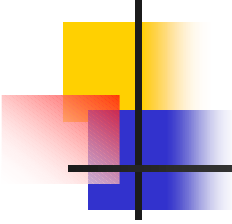
Αλλά $e^{j\omega T_s} = e^{j(\omega T_s + l2\pi)} = e^{\frac{j}{T_s}(\omega + \frac{l2\pi}{T_s})}, \quad l = 1, 2, \dots$



ΣΥΣΤΗΜΑΤΑ ΑΥΤΟΜΑΤΟΥ ΕΛΕΓΧΟΥ II

Το διάγραμμα (ω) παρουσιάζει μια περιοδικότητα (με συχνότητα $\frac{2\pi}{T_s}$)





ΣΥΣΤΗΜΑΤΑ ΑΥΤΟΜΑΤΟΥ ΕΛΕΓΧΟΥ II

Πλεονεκτήματα ΠΤ-Μεθόδου

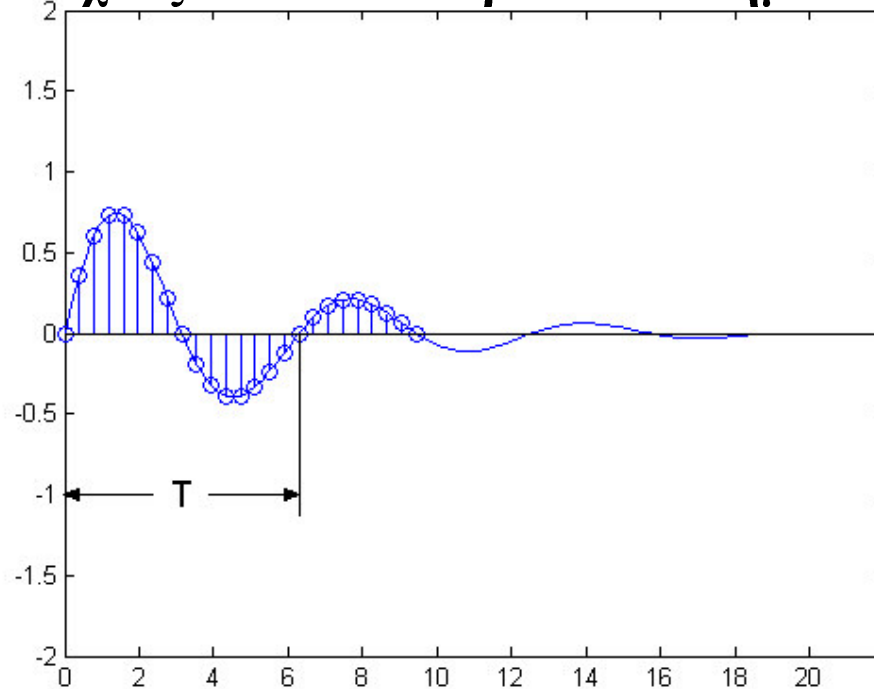
- + 1) (z) έχει ίδια κρουστική απόκριση με (s) τις χρονικές στιγμές nT_s , $n = 0, 1, \dots$
- + 2) Av (s) είναι ευσταθής \rightarrow (z) ευσταθής

Μειονεκτήματα ΠΤ-Μεθόδου

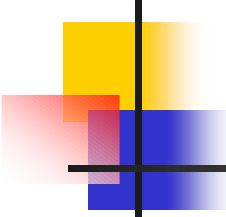
- 1) $(\omega) \neq (z)$
- 2) Η απαιτούμενη ανάπτυξη σε μερικά κλάσματα είναι χρονοβόρος διαδικασία

ΣΥΣΤΗΜΑΤΑ ΑΥΤΟΜΑΤΟΥ ΕΛΕΓΧΟΥ II

Η ΠΤ-Μέθοδος εξασφαλίζει την ταύτιση των τιμών ανάμεσα στην κρουστική απόκριση του συνεχούς και του διακριτού συστήματος τις χρονικές στιγμές $T_s, 2T_s, \dots$



Ποια η συμπεριφορά του συστήματος τις χρονικές στιγμές ανάμεσα στα σημεία δειγματοληψίας;



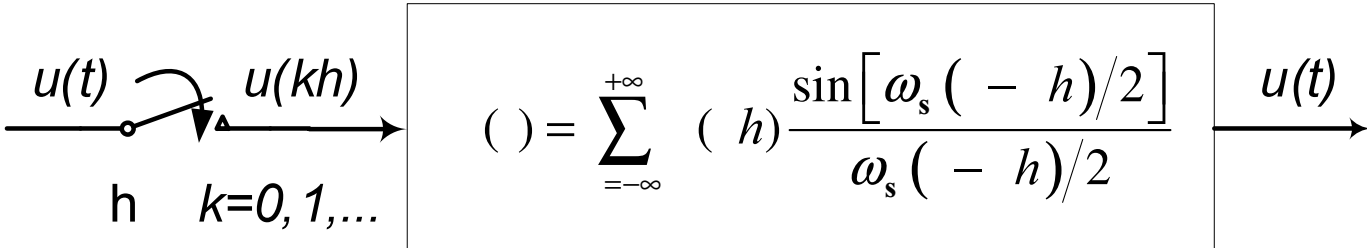
ΣΥΣΤΗΜΑΤΑ ΑΥΤΟΜΑΤΟΥ ΕΛΕΓΧΟΥ II

Δεδομένου των δειγμάτων (kh) , $k=0,1,\dots$ ενός σήματος (t) , μπορεί να αναπαραχθεί το σήμα $() \quad \forall ;$

Θεώρημα Shannon

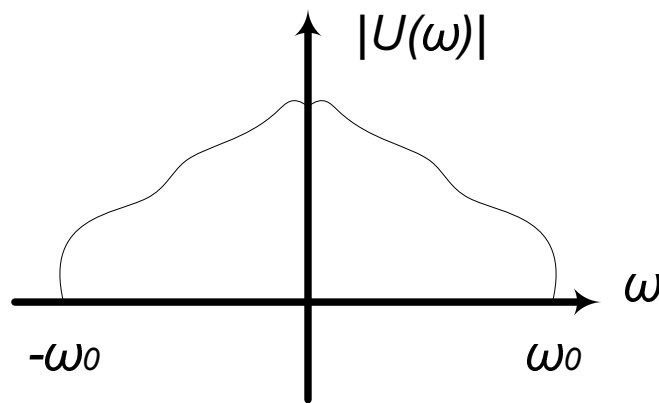
Εστω (t) με μετασχηματισμό Fourier $U(\omega) = 0 \quad \forall |\omega| > \omega_0$

Το σήμα (t) προσδιορίζεται πλήρως (και με μοναδικό τρόπο) από τις δειγματοληφθείσες τιμές, αν η συχνότητα δειγματοληψίας $\omega_s = \frac{2\pi}{h} > 2\omega_0$

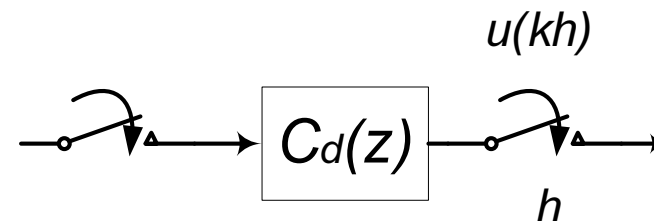
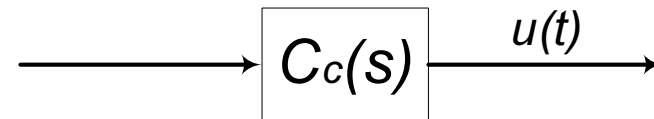

$$() = \sum_{k=-\infty}^{+\infty} (kh) \frac{\sin[\omega_s(-h)/2]}{\omega_s(-h)/2}$$

ΣΥΣΤΗΜΑΤΑ ΑΥΤΟΜΑΤΟΥ ΕΛΕΓΧΟΥ II

$$() = \sum_{n=-\infty}^{+\infty} (- n) \frac{\sin[\omega_s (- n)/2]}{\omega_s (- n)/2}$$



Σχεδιασμός ψηφιακού ελεγκτή



$$U(\omega) = \int_{-\infty}^{+\infty} e^{-i\omega t} () dt$$

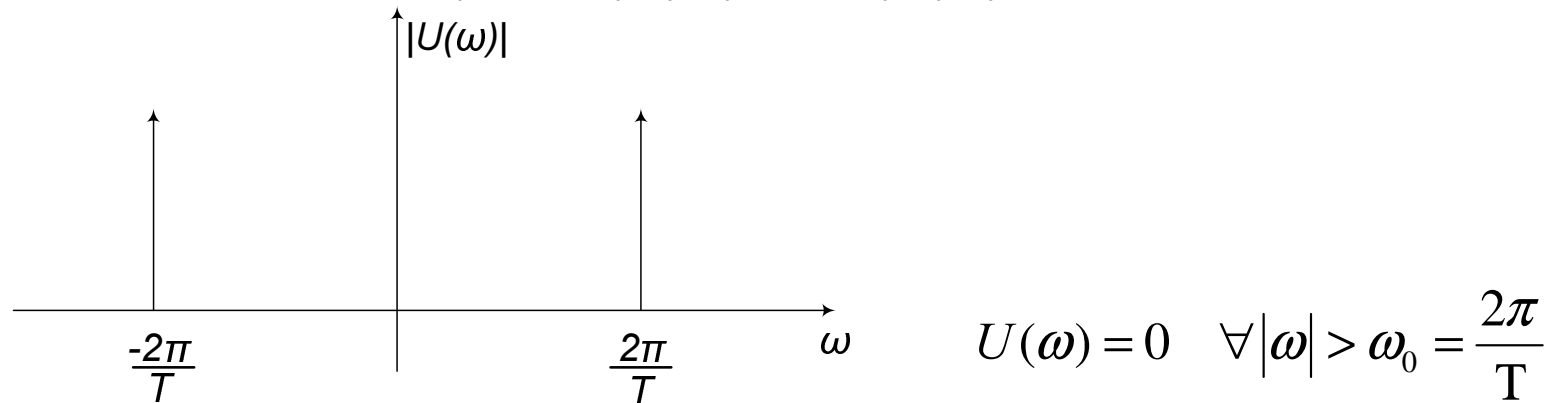
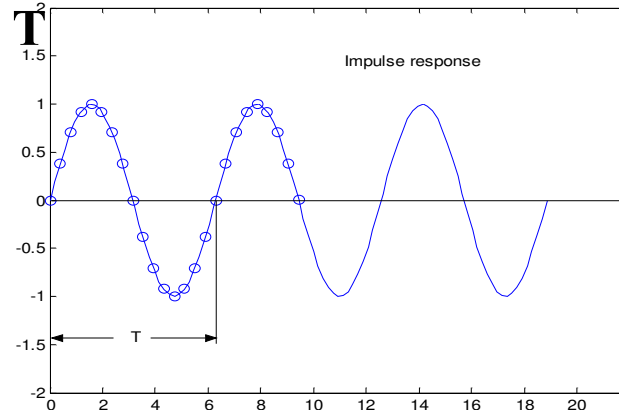
$$() = \int_{-\infty}^{+\infty} e^{i\omega t} U(\omega) d\omega$$

$$U_s(\omega) = \frac{1}{h} \sum_{k=-\infty}^{+\infty} U(\omega + k\omega_s)$$

Φάσμα δειγματοληφθέντος σήματος $\omega_s = \frac{2\pi}{h}$

ΣΥΣΤΗΜΑΤΑ ΑΥΤΟΜΑΤΟΥ ΕΛΕΓΧΟΥ II

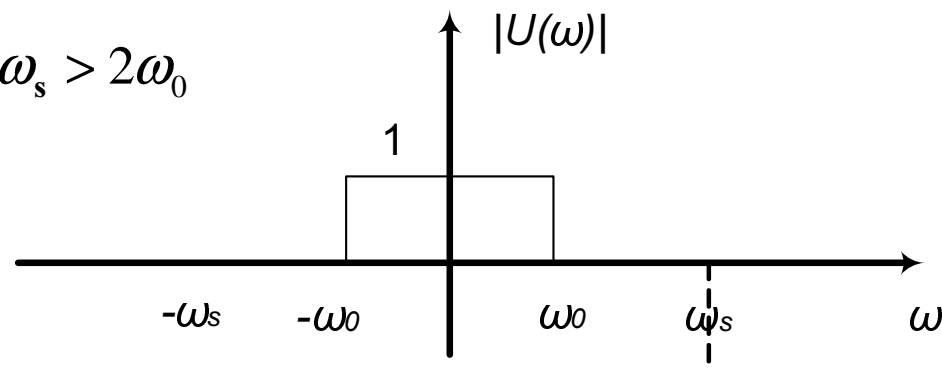
Π.χ. $() = \sin \frac{2\pi}{T}$



Από το θεώρημα Shannon προκύπτει η συνθήκη για τη συχνότητα δειγματοληψίας $T_s < \frac{T}{2}$

ΣΥΣΤΗΜΑΤΑ ΑΥΤΟΜΑΤΟΥ ΕΛΕΓΧΟΥ II

Av $\omega_s > 2\omega_0$

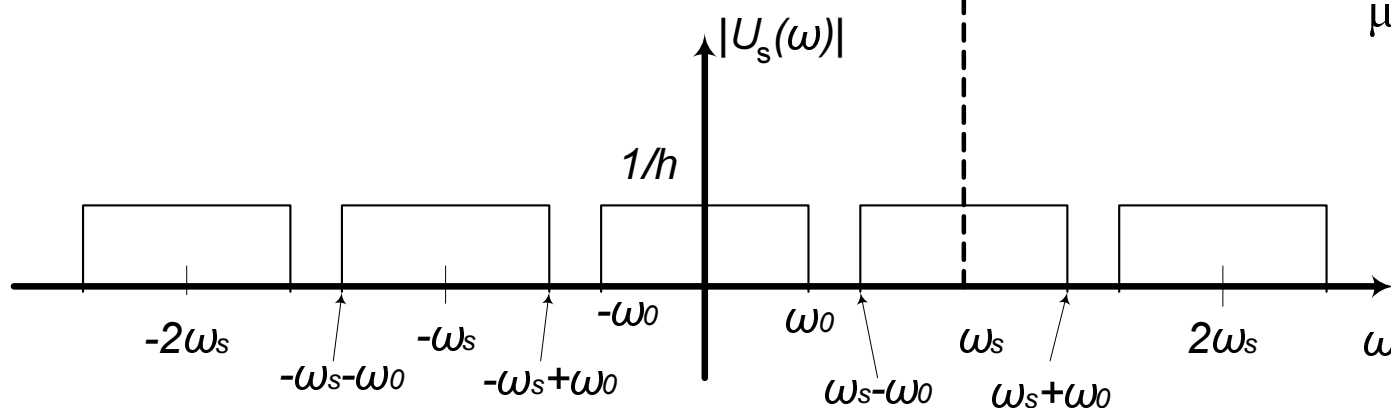


$$U_s(\omega) \triangleq \frac{1}{h} \sum_{k=-\infty}^{+\infty} e^{-ikh\omega}$$

$\mu\varepsilon$

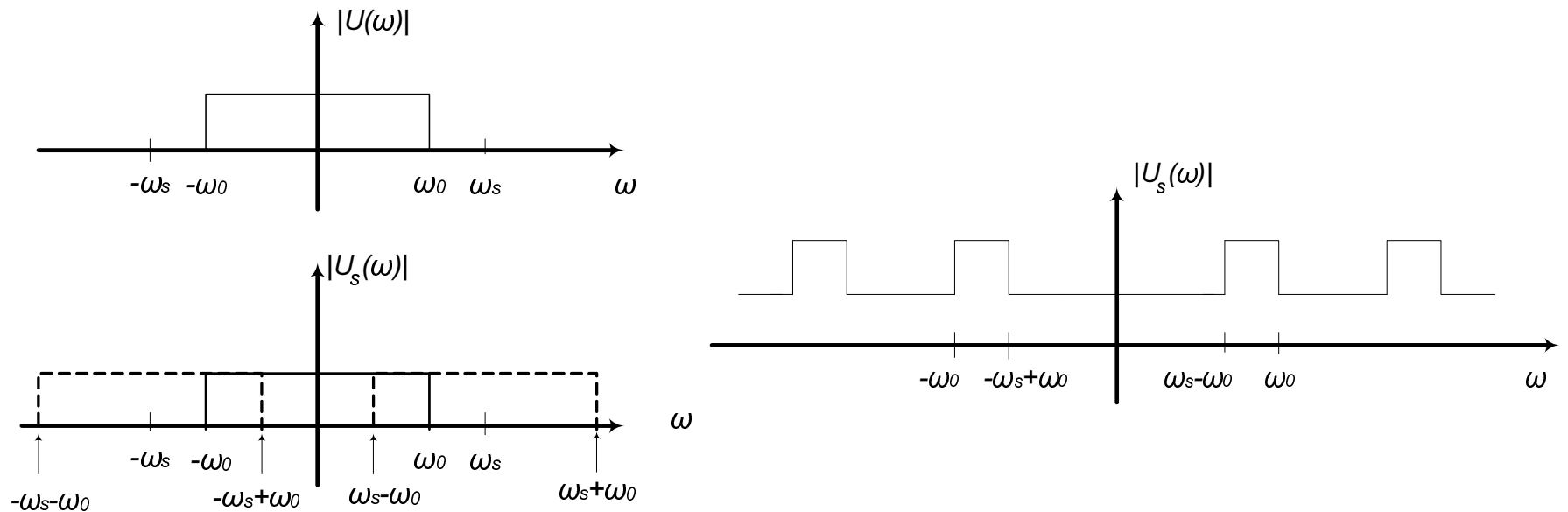
$$= \frac{1}{\omega_s} \int_0^{\omega_s} e^{i h \omega} U_s(\omega) d\omega$$

$= U(h)$



ΣΥΣΤΗΜΑΤΑ ΑΥΤΟΜΑΤΟΥ ΕΛΕΓΧΟΥ II

Av $\omega_s < 2\omega_0$



Υπάρχει παραμόρφωση και δεν μπορεί να αναδημιουργηθεί το σήμα